

Bazyli Krupicz<sup>1</sup>, Aleksy Patejuk<sup>2</sup>

Politechnika Białostocka, Wydział Mechaniczny, ul. Wiejska 45C, 15-950 Białystok

Wiktor W. Barsukow<sup>3</sup>

Grodzieński Państwowy Uniwersytet im. J. Kupały, ul. Orzeszkowej, Grodno, Białoruś

## BADANIE KOMPOZYTU EPOKSYDOWO-SZKLANEGO NA PEŁZANIE PRZY SKRĘCANIU

Przedstawiono wyniki badań pełzania kompozytu epoksydowego przy stałym  $M(t) = \text{const}$  i zmiennym momencie skręcającym  $M(t) = M_m (1 + A_s \sin 2\pi vt)$  (rys. 2). Badano próbki w postaci rurek o średnicy wewnętrznej  $d_w = 30$  mm, grubości ścianek 2 mm i długości pomiarowej  $l_o = 100$  mm (rys. 1). Osnowę kompozytu stanowiła żywica epoksydowa Epidian 5 utwardzana trójetylenoczweroaminą. Wzmocnieniem kompozytu były pasma rovingu w ilości 32% wag., ułożone pod kątem od  $\pm 30$  do  $45^\circ$ . Dla takich próbek kompozytu wyznaczono wytrzymałość na skręcanie  $R_s$  i moduł Kirchhoffa  $G$  (rys. 3). Wyniki pełzania przy obciążeniu statycznym (rys. 4) dały podstawę do założenia, że badany kompozyt jest liniowo-lepkosprężysty, dla którego obliczono jądro pełzania  $K(t)$ . Podczas pełzania dynamicznego rejestrowano pętle histerezy. Na ich podstawie wyznaczono moduł zespolony  $G$ , jego część rzeczywistą  $G'$ , część urojona  $G''$  i tangens kąta przesunięcia fazowego  $\text{tg}\varphi$  (rys. 5). Wymienione wielkości porównano z obliczonymi na podstawie eksperymentalnie wyznaczonego jądra pełzania. Wynikające różnice między porównanymi wartościami  $G$ ,  $G'$ ,  $G''$  oraz  $\text{tg}\varphi$  (rys. 5) są następstwem cech materiałowych składników kompozytu, tj. lepkosprężystej osnowy (żywicy epoksydowej) i sprężystego zbrojenia (włókien szklanych).

**Słowa kluczowe:** kompozyt epoksydowo-szklany, pełzanie, pełzanie dynamiczne (wibropełzanie), moduł zespolony

## ROTATION CREEP TESTING OF GLASS-EPOXY COMPOSITE

In the paper, results of creep testing on epoxide resin composite with constant  $M(t) = \text{const}$  and variable torque  $M(t) = M_m (1 + A_s \sin 2\pi vt)$  have been presented (Fig. 2). Samples in the form of tubes with internal diameter of  $d_w = 30$  mm, wall thickness of 2 mm and testing length of  $l_o = 100$  mm were used to the testing (Fig. 1). Epoxy resin Epidian 5 cured by triethylenetetraamine constituted the composite's matrix. Roving stripes in the amount of 32% of total weight placed at an angle of  $\pm 30 \div 45^\circ$  reinforced the composite. Torsional strength  $R_s$  and Kirchoff module  $G$  were determined for the tested composite samples (Fig. 3). Investigation from results at the static load (Fig. 4) were the ground for the assumption that the tested composite is linear-viscoelastic, for which creeping core  $K(t)$  was determined. During dynamic creep, hysteresis loops were recorded. Based on them, complex modulus  $G$ , its storage modulus part  $G'$ , loss modulus part  $G''$  and loss tangent  $\text{tg}\varphi$  were calculated (Fig. 5). Presented values were compared with the values calculated from experimentally determined creeping core. Identified differences among  $G$ ,  $G'$ ,  $G''$  and  $\text{tg}\varphi$  values (Fig. 5) were the results of material properties of composite components, i.e. viscoelastic matrix (epoxy resin) and elastic reinforcement (fibreglass).

**Key words:** glass-epoxy composite, creep, dynamic creep (vibro-creep), modulus

### WSTĘP

Rozwój zastosowań kompozytów jest związany z postępowaniem rozwiązań konstrukcyjno-technologicznych, w których są wykorzystywane ich właściwości przy różnorodnych obciążeniach. Właściwości kompozytu zależą od rodzaju i ilości jego składników, sposobu ułożenia włókien i technologii wytwarzania półfabrykatów lub gotowych wyrobów [1].

Właściwości mechaniczne kompozytu epoksydowo-szklanego w zasadniczej mierze kształtuje zbrojenie w postaci włókien szklanych i żywica epoksydowa jako osnowa. Włókno szklane jest liniowo sprężyste do zerwania, natomiast żywica epoksydowa jest tworzywem lepkosprężystym. Stąd też kompozyt epoksydowo-szklany również wykazuje cechy lepkosprężyste. Kom-

pozyty posiadające uporządkowaną strukturę zbrojenia w pewnym zakresie obciążeń są liniowo lepkosprężyste. Fenomenologiczna teoria lepkosprężystości liniowej zawiera ściśle związki wiążące funkcje lepkosprężystości [2].

W niniejszej pracy przedmiotem analizy będą następujące wielkości: zespolony moduł sprężystości postaciowej  $G_z$  (moduł Kirchhoffa), jego część rzeczywista  $G'$  i część urojona  $G''$ , oraz tangens kąta przesunięcia fazowego  $\text{tg}\varphi$ . Powyższe wielkości obliczono na podstawie wyznaczonego doświadczalnie jądra pełzania  $K(t)$ , a ich wartości porównano z danymi doświadczalnymi. Składowe zespolonego modułu Kirchhoffa wyrażone przez jądro pełzania mają postać:

<sup>1,2</sup> dr inż., <sup>3</sup> starszy pracownik naukowy

$$G' = \frac{1 + K_c}{(1 + K_c)^2 + K_s^2} \quad (1)$$

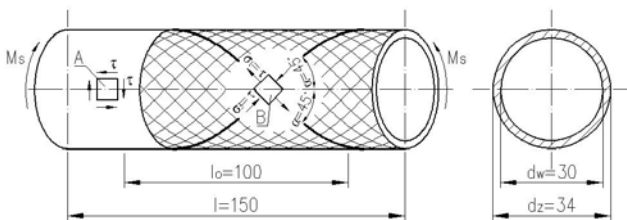
$$G'' = \frac{K_s}{(1 + K_c)^2 + K_s^2} \quad (2)$$

gdzie:  $K_c$  i  $K_s$  odpowiednio cosinus i sinus przekształcenia Fouriera jądra pełzania  $K(t)$ . Moduł zespolony i  $\text{tg}\varphi$  obliczono jako

$$|G_z| = \sqrt{(G')^2 + (G'')^2}, \quad \text{tg}\varphi = \frac{G''}{G'} \quad (3)$$

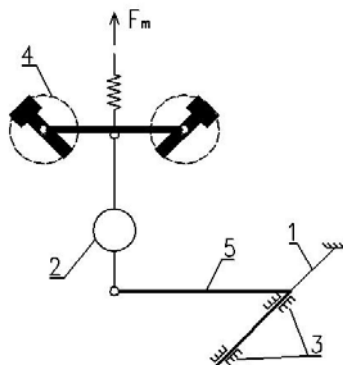
## WARUNKI DOŚWIADCZENIA

Kompozyt wykonany z żywicy epoksydowej wzmocnionej rovingiem szklanym należy do tworzyw o dużej sztywności. Jego lepkosprężyste właściwości najlepiej uwidaczniają się przy ścinaniu i dlatego ten rodzaj obciążenia wybrano do badań. Stan ścinania zrealizowano, obciążając momentem skręcającym  $M_s$  cienkościennie próbki cylindryczne. Schemat próbek pokazano na rysunku 1. Natomiast próbki obciążano zgodnie ze schematem przedstawionym na rysunku 2. Przy próbach statycznych wibrator (4) był unieruchomiony.



Rys. 1. Schemat próbki:  $\alpha$  - kąt, jaki tworzy pasmo rovingu z kierunkiem osi próbki

Fig. 1. Sample scheme:  $\alpha$  - angle, which is constituted by roving string with axis direction of the sample



Rys. 2. Schemat obciążenia próbki: 1 - próbka, 2 - dynamometr, 3 - łożyska, 4 - wibrator, 5 - dźwignia do wywoływania momentu skręcającego

Fig. 2. Sample load scheme: 1 - sample, 2 - dynamometer, 3 - bearings, 4 - vibrator, 5 - lever for generating the torque

Próbki do badań wykonano z żywicy epoksydowej wzmocnionej włóknem szklanym wielopasmowym typu E (włókno elementarne 9  $\mu\text{m}$ , pasmo tex 40, żywica epoksydowa Epidian 5, utwardzacz - TECZA). Włókna szklane nie były preparowane. Pasma rovingu ułożono w sześciu warstwach. Warstwę stanowił roving nawinięty w różnych próbkach odpowiednio pod kątem  $\alpha = \pm 30; 35; 40; 45^\circ$  w stosunku do osi próbki. Kąt w kolejnych warstwach próbki zmieniano, znak kąta, który pozostawał stały na całej długości próbki. Różne kąty ułożenia włókien w próbkach pozwoliły na zróżnicowanie obciążenia włókien przy tym samym obciążeniu zewnętrznym. Zawartość szkła w próbce wynosiła - 32% wag. Próbki pobierano z środkowych części rur o długości 2 m.

Wartość naprężenia stycznego uśrednionego obliczano przy założeniu, że próbka jest cienkościenna i izotropowa, tj.

$$\tau = \frac{2M_s}{\pi g(d_z - g)} \quad (4)$$

gdzie:  $M_s$  - moment skręcający,  $d_z$  - średnica zewnętrzna próbki. Odkształcenie postaciowe  $\gamma$  próbki obliczano na podstawie pomiaru kąta obrotu przekrojów oddalonych o długość pomiarową  $l_0 = 100$  mm. Założenie o jednorodności materiału próbki pozwoliło na wyznaczenie modułu sprężystości postaciowej  $G$  (moduł Kirchhoffa) badanych próbek. Moduł  $G$  wyznaczono w zakresie naprężeń  $< 5$  MPa. Przy tym poziomie naprężeń próbki odkształcały się zgodnie z prawem Hooke'a.

## MODUŁ KIRCHHOFFA $G$ I WYTRZYMAŁOŚĆ NA SKRĘCANIE $R_s$

Na rysunku 3 przedstawiono wyniki wyznaczonych modułów  $G$  i wytrzymałości na skręcanie  $R_s$  w zależności od kąta ułożenia włókien w próbce. Wytrzymałość na skręcanie wyznaczano na maszynie wytrzymałościowej KM-50-1. Wytrzymałość na skręcanie obliczano ze wzoru (4) jako naprężenie styczne  $R_s = \tau$ , przyjmując maksymalną wartość momentu skręcającego  $M_s$ , przy którym następowało zniszczenie próbki. Wartość  $R_s$  kompozytu o danym kącie skrzyżowania włókien ustalono jako średnią z 10 prób.

Dane doświadczalne przedstawione na rysunku 3 opisano funkcjami:

$$G = G_o(p_1 \sin 2\alpha + p_2)$$

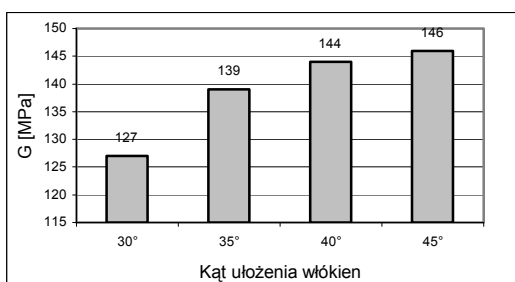
$$R_s = R_{s0}(k_1 \sin 2\alpha + k_2)$$

gdzie:  $G_o = 1$  MPa,  $R_{s0} = 1$  MPa. Współczynniki  $p_1, p_2, k_1, k_2$  obliczono metodą najmniejszych kwadratów. Ich

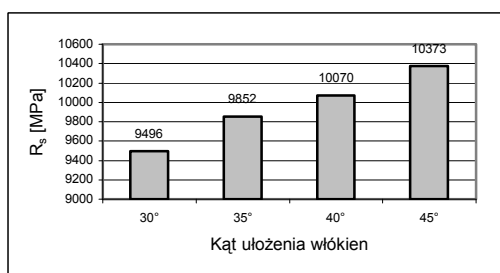
wartości są następujące:  $p_1 = 5941,2$ ;  $p_2 = 4317,7$ ;  $k_1 = 141,2$ ;  $k_2 = 5,2$ .

Z przedstawionych danych na rysunku 3 wynika, że badane próbki kompozytu posiadały największą sztywność oraz wytrzymałość na skręcanie, gdy kąt  $\alpha$ , jaki tworzyły włókna szklane z osią próbki, wynosił  $45^\circ$ . Jest to wynik zgodny z literaturą [3]. Ten kierunek ułożenia rovingu pokrywał się z kierunkiem naprężeń głównych w badanych próbkach. O wytrzymałości próbek kompozytu na skręcanie decydowało rozwarstwienie włókien rovingu.

a)



b)



Rys. 3. Wpływ kąta ułożenia włókien na: a) moduł  $G$ , b) wytrzymałość na skręcanie  $R_s$

Fig. 3. Relation between fibre composition angle and: a)  $G$  module, b) torsional strength  $R_s$

## WYNIKI BADAŃ NA PEŁZANIE

Próby pełzania prowadzono przy następujących naprężeniach stałych w czasie:  $\tau_o = 18,2$ ;  $24,3$ ;  $30,4$ ;  $42,6$  MPa. Maksymalne naprężenie niszczące stanowiło około 30% naprężenia niszczącego próbkę. Każdą próbkę poddano pełzaniu w czasie 5 godz. Wyniki odkształceń pełzania przedstawiono na rysunku 4. Obliczano je według wzoru (5) jako różnicę odkształceń całkowitych i sprężystych przy różnych kątach ułożenia włókien w kompozycie

$$\frac{\gamma_c(t)}{\tau_o} = \frac{\gamma(t)}{\tau_o} - \frac{\tau_o}{G} \quad (5)$$

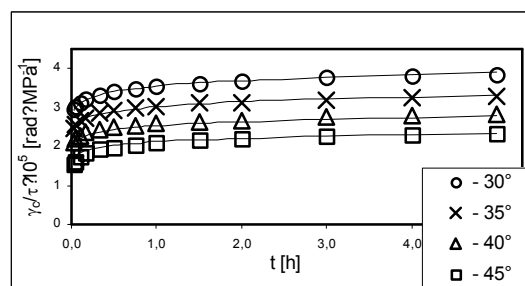
Do opisu odkształceń pełzania wybrano funkcję potęgową przedstawioną za pomocą wzoru

$$f(t) = \frac{\gamma_c(t)\tau_o}{\tau} = p_1 \left( \frac{t}{t_o} \right)^p \quad (6)$$

gdzie:  $p$ ,  $p_1$  - współczynniki obliczone metodą najmniejszych kwadratów,  $t_o = 1$  h,  $\tau_o = 1$  MPa. Analiza wartości współczynników  $p$ ,  $p_1$  dla poszczególnych kątów ułożenia włókien w kompozycie wykazała, że wykładnik potęgi  $p$  można przyjąć jako wartość stałą. Współczynnik  $p_1$  jest zmienny i aproksymowano go zależnością

$$p_1 = a_1 \cos^2 \alpha + a_2 \cos^2 2\alpha \quad (7)$$

gdzie:  $a_1$ ,  $a_2$  - stałe.



Rys. 4. Wyniki prób pełzania kompozytu  $\gamma_c(t)/\tau$

Fig. 4. Results of composite  $\gamma_c(t)/\tau$  creep testing

Linie ciągłe na rysunku 4 są wynikiem przyjętej aproksymacji. Otrzymane wyniki pełzania kompozytu posłużyły również do wyznaczenia jego jądra pełzania  $K(t)$ . Występuje ono w równaniach całkowych Volterry

$$\gamma(t) = \frac{1}{G} \left[ \tau + \int_{-\infty}^t K(t-\theta)\tau(\theta)d\theta \right] \quad (8)$$

Wykorzystując zależności (5)-(8), otrzymano

$$\begin{aligned} K(t) &= \frac{G(\alpha)}{\tau_o} \dot{f}(t) = \frac{G(\alpha)}{t_o \tau_o} (a_1 \cos^2 \alpha + a_2 \cos^2 2\alpha) p \left( \frac{t}{t_o} \right)^{p-1} = \\ &= A(\alpha) p \left( \frac{t}{t_o} \right)^{p-1} \end{aligned} \quad (9)$$

$$\text{gdzie } A(\alpha) = \frac{G(\alpha)}{t_o \tau_o} (a_1 \cos^2 \alpha + a_2 \cos^2 2\alpha)$$

## WYNIKI BADAŃ MODUŁU ZESPOLONEGO $G_z$ I JEGO SKŁADOWYCH $G'$ I $G''$

Zespolony moduł Kirchhoffa  $G_z$ , jego składowe, tj. rzeczywistą  $G'$  i urojoną  $G''$ , oraz tangens kąta przesunięcia fazowego  $\text{tg}\varphi$  wyznaczono jak dla tworzywa liniowo-lepkosprężystego obciążonego wymuszeniem dynamicznym o przebiegu

$$\tau = \tau_m + \tau_a \exp(2\pi i \nu t) \quad (10)$$

gdzie:  $\tau_m$  - naprężenie średnie,  $\tau_a$  - amplituda naprężenia,  $\nu$  - częstość drgań. Dla tak zadanego obciążenia oczekiwano odkształcenia postaciowego zgodnego z równaniem (7)

$$\gamma(t) = \frac{1}{G(\alpha)} \left\{ \begin{aligned} & [\tau_m + \tau_a \exp(i\omega t)] + \\ & + \int_{-\infty}^t [\tau_m + \tau_a \exp(i\omega\theta)] K(t-\theta) d\theta \end{aligned} \right\} \quad (11)$$

Wykorzystując transformację Fouriera całek we wzorze (10), po podstawieniu  $z = (t-\theta)$ , jądra pełzania (8) oraz wykorzystując własności funkcji  $\Gamma = \Gamma(1+p)/p$ , otrzymano

$$\gamma(t, \alpha) = \tau_m \left[ \frac{1}{G(\alpha)} + \frac{f(t, \alpha)}{\tau_o} \right] + \frac{\tau_a \exp(i\omega t)}{G(\alpha)} \left[ \begin{aligned} & 1 + \frac{A(\alpha)\Gamma(1+p)}{\omega^p} \cos \frac{\pi p}{2} + \\ & - i \frac{A(\alpha)\Gamma(1+p)}{\omega^p} \sin \frac{\pi p}{2} \end{aligned} \right] \quad (12)$$

Z analizy wzoru (11) wynika, że przewidywane odkształcenie próbki jest sumą odkształcenia statycznego  $\tau_m/G(\alpha)$  i odkształcenia pełzania  $\tau_m f(t, \alpha)/\tau_o$ , na które jest nałożone odkształcenie harmonicznym zmiennie

$$\begin{aligned} \gamma_a(t) &= \frac{\tau_a \exp(i\omega t)}{G_z} = \\ &= \tau_a \exp(i\omega t) \frac{1}{G(\alpha)} \left( 1 + C \cos \frac{\pi p}{2} - iC \sin \frac{\pi p}{2} \right) \end{aligned} \quad (13)$$

gdzie  $C = A(\alpha)\Gamma(1+p)/\omega^p$ .

Z wzoru (12) wynika moduł zespolony  $G_z$  i dalej  $G'$ ,  $G''$  oraz  $\text{tg}\varphi$ , tj.

$$G_z = \frac{\frac{1}{G(\alpha)} + C \cos \frac{\pi p}{2} - iC \sin \frac{\pi p}{2}}{\left( \frac{1}{G(\alpha)} + C \cos \frac{\pi p}{2} \right)^2 + \left( C \sin \frac{\pi p}{2} \right)^2} \quad (14)$$

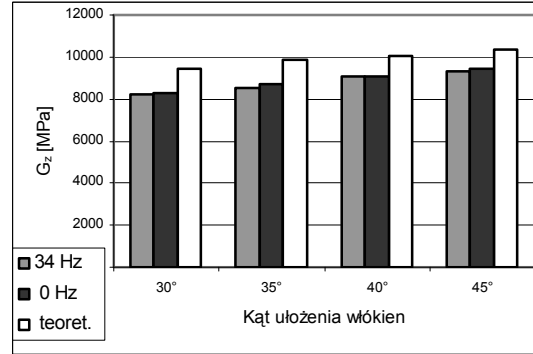
$$G' = \frac{\frac{1}{G(\alpha)} + C \cos \frac{\pi p}{2}}{\left( \frac{1}{G(\alpha)} + C \cos \frac{\pi p}{2} \right)^2 + \left( C \sin \frac{\pi p}{2} \right)^2} \quad (15)$$

$$G'' = \frac{C \sin \frac{\pi p}{2}}{\left( \frac{1}{G(\alpha)} + C \cos \frac{\pi p}{2} \right)^2 + \left( C \sin \frac{\pi p}{2} \right)^2} \quad (16)$$

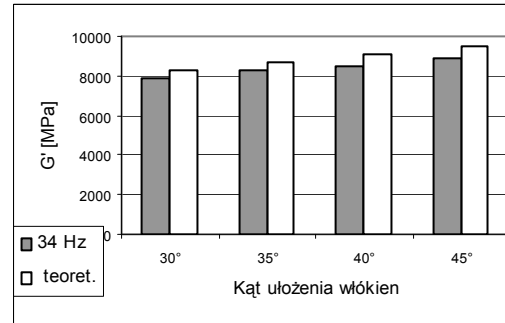
$$\text{tg}\varphi = \frac{C \sin \frac{\pi p}{2}}{\left( \frac{1}{G(\alpha)} + C \cos \frac{\pi p}{2} \right)} \quad (17)$$

Wartości doświadczalne zespolonego modułu Kirchhoffa  $G_z$ , jego składowych -  $G'$  i  $G''$  oraz  $\text{tg}\varphi$  wyznaczono z pętli histerezy rejestrowanej podczas pełzania dynamicznego [4].

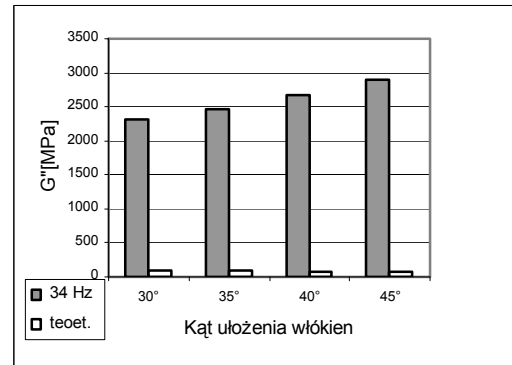
a)



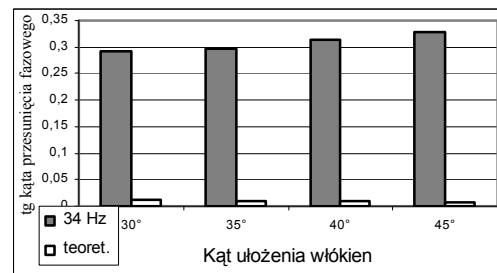
b)



c)



d)



Rys. 5. a)  $G_z$ , b)  $G'$ , c)  $G''$ , d)  $\text{tg}\varphi_d$  uzyskanych doświadczalnie i obliczonych na podstawie jądra pełzania przy  $\tau_m = 36,5$  MPa,  $\tau_d = 4,7$  MPa,  $\nu = 34$  Hz

Fig. 5. a)  $G_z$ , b)  $G'$ , c)  $G''$ , d)  $\text{tg}\varphi_d$ , which were calculated during testing and determined on the basis of creeping core at  $\tau_m = 36.5$  MPa,  $\tau_d = 4.7$  MPa,  $\nu = 34$  Hz

Uzyskane wartości doświadczalne  $G_{zd}$ ,  $G'_d$ ,  $G''_d$  oraz  $\text{tg}\varphi_d$  porównano z obliczonymi na podstawie jądra pełzania dla czasu  $t = 5$  h (rys. 5).

Z danych przedstawionych na rysunku 5a wynika, że wartości modułów Kirchhoffa statycznego  $G$  (■ 0 Hz) i zespolonego  $G_z$ , wyznaczonego na podstawie przebiegu pętli histerezy (■ 34 Hz), są zbliżone. Moduł zespolony obliczony (□ teoret.) na podstawie jądra pełzania jest wyższy od modułów statycznego i wyznaczonego doświadczalnie. Ta tendencja dotyczy też części rzeczywistej modułu zespolonego modułu Kirchhoffa  $G'$  (rys. 5b). W przypadku modułu zespolonego  $G_z$  różnica jest najmniejsza przy kącie skrzyżowania włókien w próbce  $\alpha = 45^\circ$ , tj. gdy włókna w próbce są poddane działaniu naprężeń głównych. Wartości części rzeczywistej modułu zespolonego  $G'$  są najmniejsze przy kącie  $\alpha = 30^\circ$ .

Istotnie różnią się między sobą wartości części urojonej  $G''$  (rys. 5c) i tangensa kąta przesunięcia fazowego  $\text{tg}\varphi$  (rys. 5d), wyznaczonych na podstawie przebiegu pętli histerezy (■) i obliczonego na podstawie jądra pełzania (□ [5]). Wynikłe różnice są następstwem cech materiałowych składników kompozytu, tj. lepkosprężystej osnowy (żywicy epoksydowej) i sprężystego zbrojenia (włókien szklanych). Osnowa decyduje o przesunięciu fazowym odkształcenia w stosunku do naprężenia, wyrażonym przez  $\text{tg}\varphi$ , czego konsekwencją jest identyczne kształtowanie się wartości części urojonej zespolonego modułu Kirchhoffa  $G''$ .

## WNIOSKI

1. Wytrzymałość kompozytu i statyczny moduł Kirchhoffa jest największy, gdy włókna szklane tworzą z osią próbki kąt  $\alpha = 45^\circ$ .

2. Porównanie wartości modułów zespolonego  $G_z$ , jego części rzeczywistej  $G'$  i urojonej  $G''$  oraz tangensa kąta przesunięcia fazowego  $\text{tg}\varphi$ , wyznaczonych doświadczalnie na podstawie przebiegu pętli histerezy oraz obliczonych na podstawie jądra pełzania, wskazuje, że wartości obliczone są wyższe w stosunku do doświadczalnych. W obu tych przypadkach występują znaczne różnice (około 2 rzędy wielkości) pomiędzy wartościami modułu  $G''$  i  $\text{tg}\varphi$ .
3. Wykazano, że dla kompozytu posiadającego przy pełzaniu cechy liniowo-lepkosprężyste występują ograniczenia w wyznaczaniu zespolonego modułu  $G_z$  i  $\text{tg}\varphi$  na podstawie jądra pełzania.

*Pracę wykonano w Politechnice Białostockiej, finansowanej ze środków przeznaczonych na działalność statutową S/WM/1/03.*

## LITERATURA

- [1] Wilczyński A., Mechanika polimerów w praktyce konstrukcyjnej, WNT, Warszawa 1984.
- [2] Wilczyński A., Nowa funkcja typu wykładniczego jako funkcja tworząca w lepkosprężystości, Mat. X Seminarium nt. Two- rzywa sztuczne w budowie maszyn, Kraków 2003, 403-409.
- [3] Kłosowska-Wońkiewicz Z., Królikowski W., Penczek P., Żywiec i laminaty poliestrowe, WNT, Warszawa 1969.
- [4] Krupicz B., Badania wpływu kompozycji laminatów na ich reologiczne właściwości dynamiczne - rozprawa doktorska, Białystok 1979.
- [5] Jakowluk A., Krupicz B., Ograniczenia wyznaczania wielkości dynamicznych ciał lepkosprężystych na podstawie jądra pełzania, Inżynieria Materiałowa 1983, 6, 179-181.

Recenzent  
Zbigniew Roslaniec